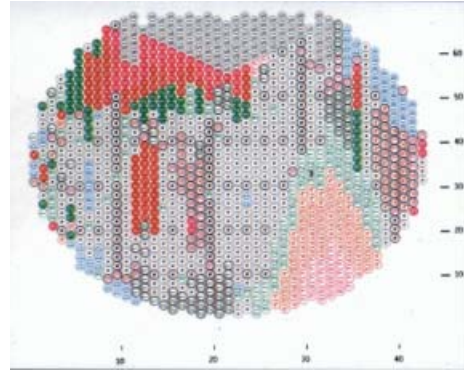




a.

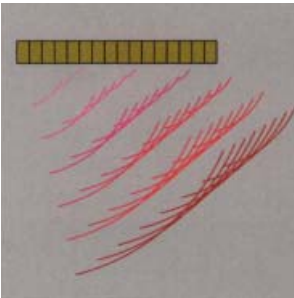


b.

Figuur 5.20. a. Wervelstroomonderzoek aan een warmtewisselaar; b. presentatie van de resultaten. Afgestaan door SGS te Spijkenisse.



a.

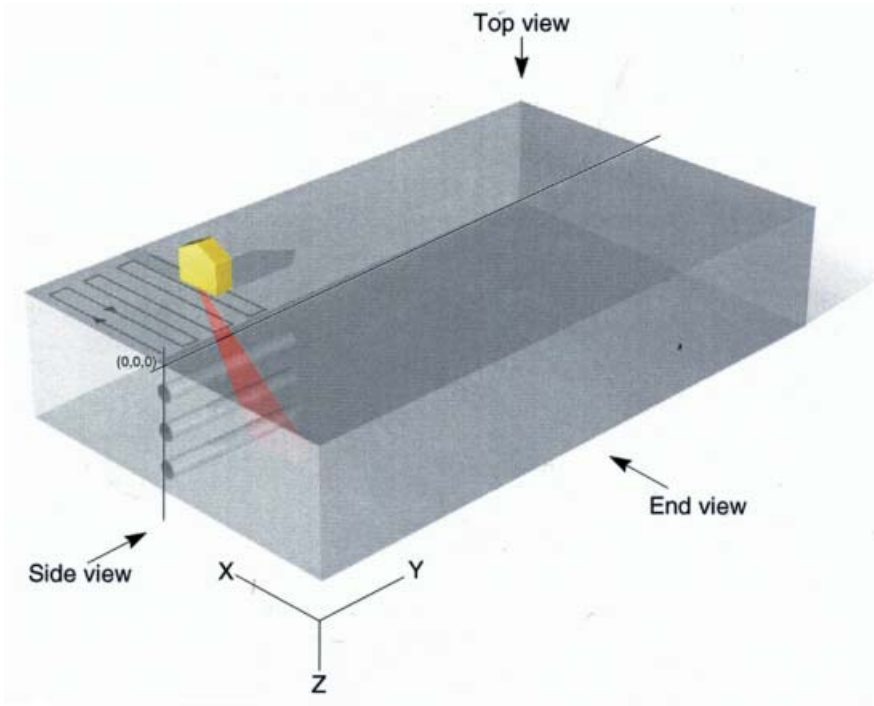


b.



c.

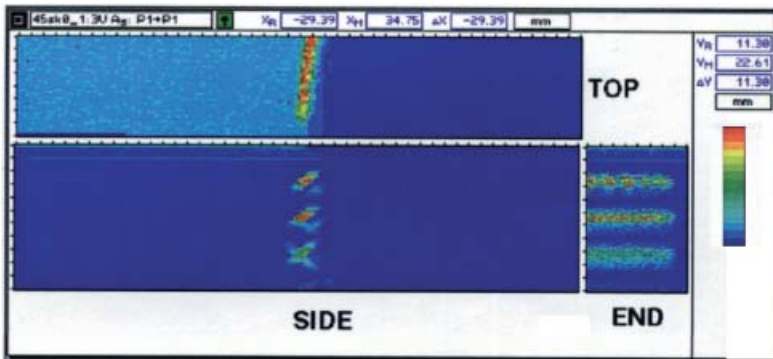
Figuur 6.13. a. Enige array-tasters. b. Een hoektaster. c. Een array-taster, waarmee zonder de taster te verplaatsen een bewegende gefocusserde golf kan worden



a.



b.

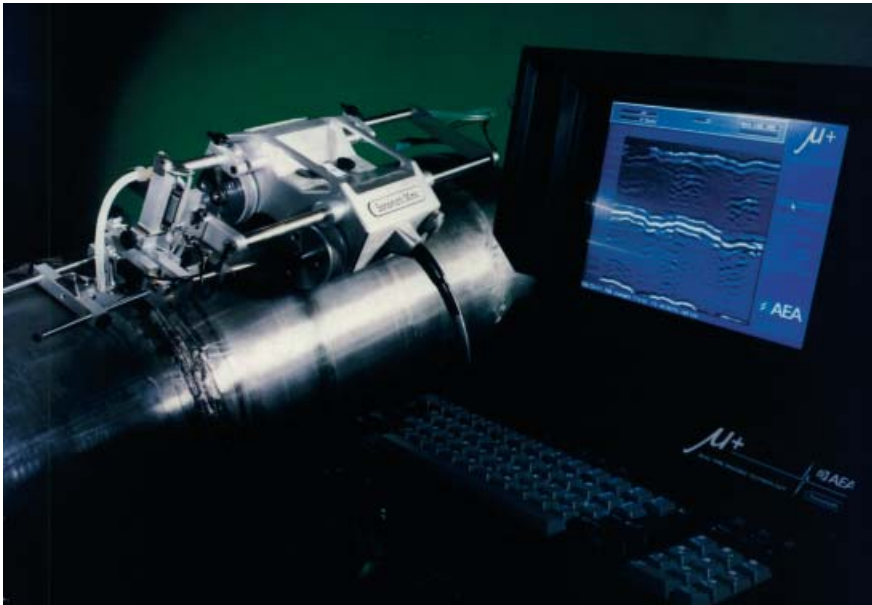


c.

Figuur 6.34. a. Aftasten van een werkstuk met een hoektaster b. Het A-beeld c. Het B-beeld (side), het C-of P-beeld (top) en het D-beeld (end). Foto's afgestaan door de firma's Tecrad en de Looper.



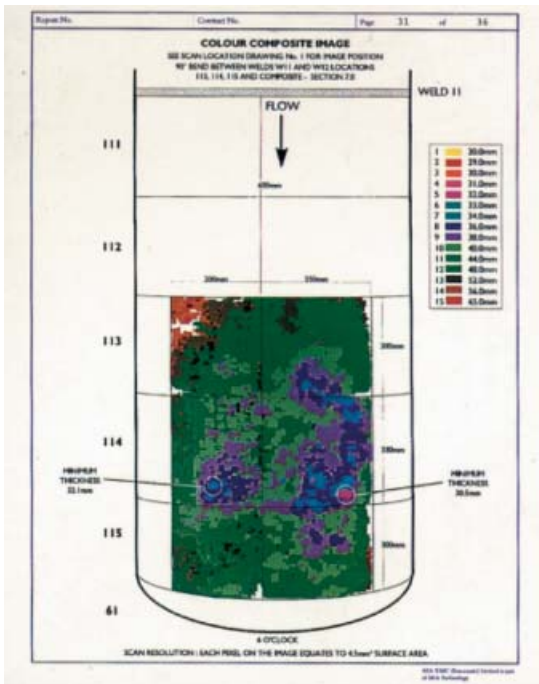
*Figuur 6.47. Geavanceerde ultrasone apparatuur (Tomoscan). Foto afgestaan door de firma's Tecrad en de Looper.*



*Figuur 6.48. Geavanceerde ultrasone apparatuur ( $\mu$ +-systeem). Foto afgestaan door de firma AEA Sonomatic te Oosterhout.*

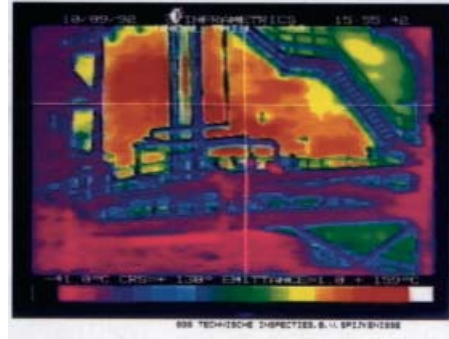


a.



b.

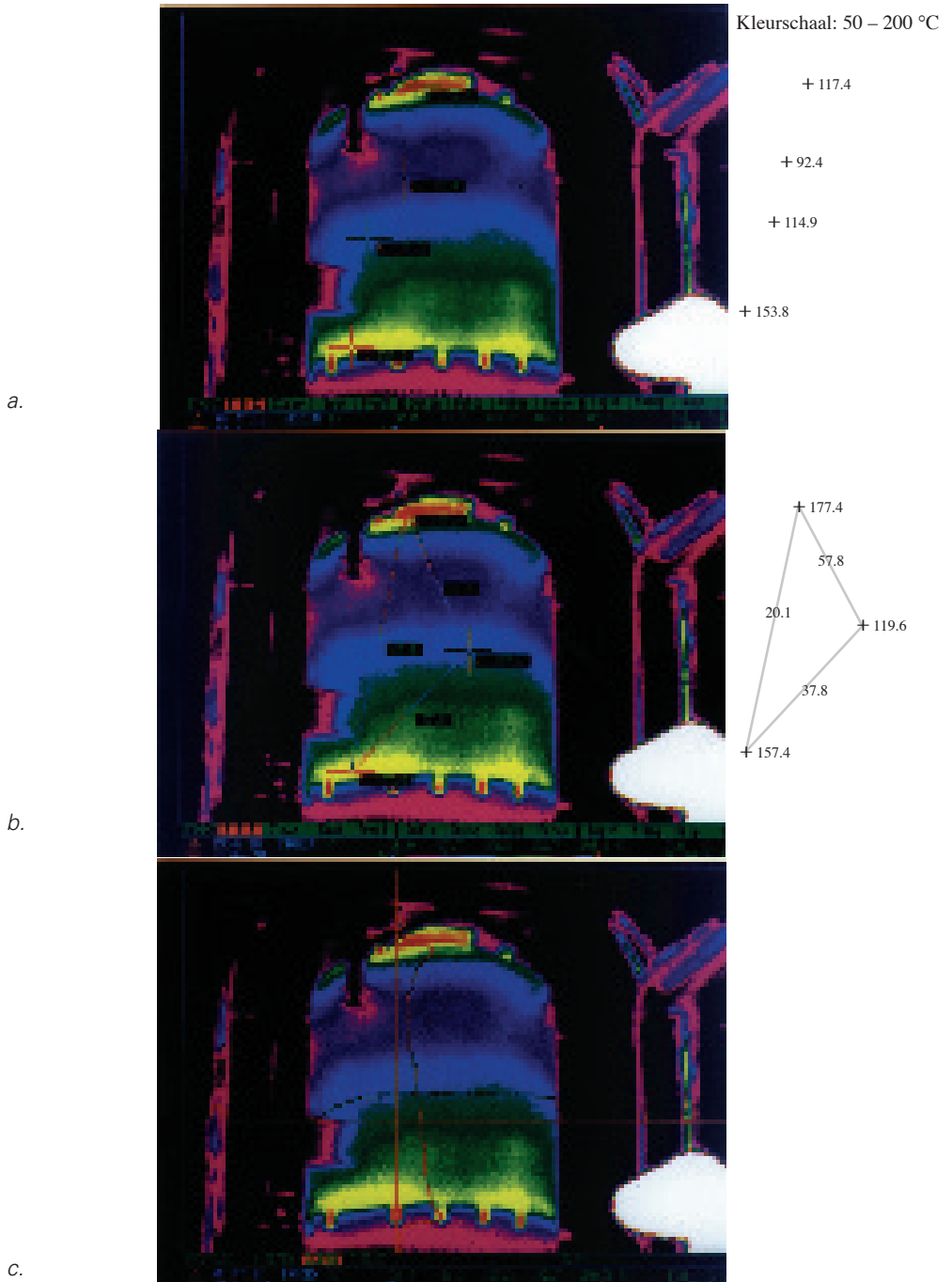
Figuur 6.49. a. Corrosieonderzoek met behulp van het  $\mu+$ -systeem. b. Een C-afbeelding van het onderzoek. Afgestaan door de firma AEA Sonomatic te oosterhout.



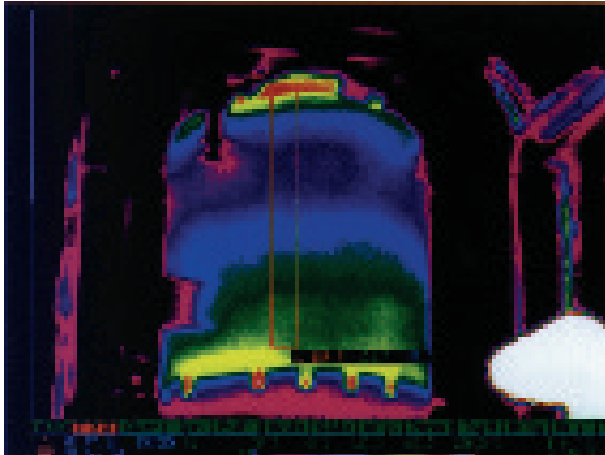
a.

b.

*Figuur 12.10. Inspectie in een raffinaderij. a. foto van een deel van de raffinaderij, b. warmtebeeld. Afgestaan door SGS te Spijkenisse.*

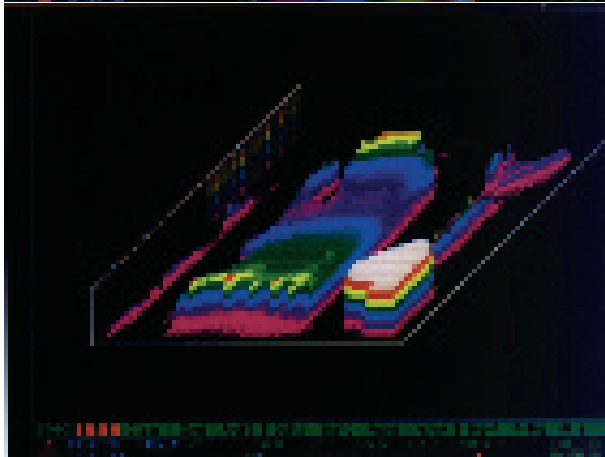


*Figuur 12.11. Temperatuurmetingen aan een warmtebeeld en wijzen van presentatie. a. warmtebeeld met 3 spotmetingen, b. warmtebeeld met 3 spotmetingen en verschilmetingen, c. warmtebeeld met het temperatuurverloop langs een horizontale lijnscan, d. bepaling van de maximale, de gemiddelde en de minimale waarde van de*



180,9 121,7 86,5

d.

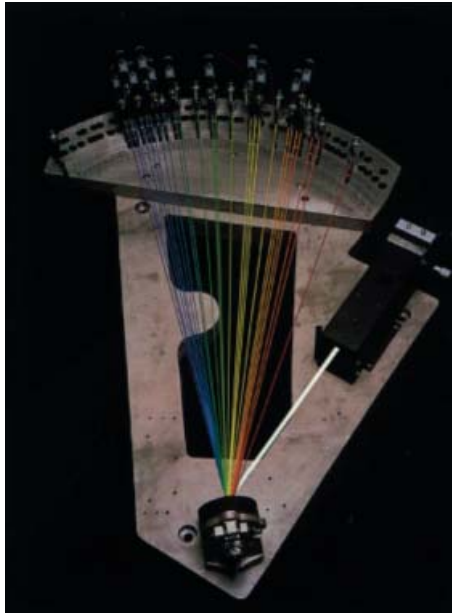


e.



f.

temperatuur in een gekozen 'rechthoekig' deel van het warmtebeeld, e. 3-D presentatie van het warmtebeeld in de kleurschaal, f. 3-D presentatie van het warmtebeeld in grijstinten. Afgestaan door SGS te Spijkenisse.



*Figuur 17.1. b. Een spectroscop, foto van Thermo Jarrell Ash Corporation.*